

УДК 546.785:546.221.1:546.13:542.06:548.312.5

**СТРУКТУРА НОВОГО БИЯДЕРНОГО КОМПЛЕКСА ВОЛЬФРАМА
[W₂S₄Cl₂(dppe)₂]·2CH₃CN**

**С.Б. Артёмкина^{1,2}, А.Ю. Леднева¹, Д.А. Пирязев¹, А.В. Вировец¹, Ю.В. Миронов^{1,2},
В.Е. Фёдоров^{1,2}**

¹*Институт неорганической химии им. А.В. Николаева СО РАН, Новосибирск, Россия*

E-mail: artem@niic.nsc.ru

²*Новосибирский национальный исследовательский государственный университет, Россия*

Статья поступила 16 января 2014 г.

Реакцией (Et₄N)₂[W₂S₄Cl₄] с 1,2-бис(дифенилфосфино)этаном в ацетонитриле получен новый биядерный комплекс вольфрама(V) [W₂S₄Cl₂(dppe)₂]·2CH₃CN. Его кристаллическая структура решена в триклинической пр. гр. P-1 с параметрами элементарной ячейки $a = 10,1202(16)$, $b = 11,758(2)$, $c = 12,648(2)$ Å, $\alpha = 104,324(5)$, $\beta = 106,469(5)$, $\gamma = 97,587(5)$ °, $V = 1364,9(4)$ Å³, $Z = 1$ с окончательными параметрами уточнения $R_1 = 0,0545$, $wR_2 = 0,1053$. В работе описан синтез, кристаллическая структура и КР спектр комплекса [W₂S₄Cl₂(dppe)₂]·2CH₃CN.

Ключевые слова: вольфрам, сера, биядерный комплекс, синтез, кристаллическая структура, КР спектр.

Халькогенидные кластерные комплексы молибдена и вольфрама являются привлекательными объектами исследований, так как эти комплексы играют существенную роль в ряде междисциплинарных областей: от бионеорганической химии ферментов, содержащих Mo/S или W/S(Se) [1—3], до синтеза высокодисперсных /аморфных халькогенидов металлов, применяемых в катализе реакций гидрирования/ дегидрирования, в том числе гидрирования связей C—S, т.е. процессов грубой гидродесульфуризации нефти [4, 5]. Летучие органические комплексы молибдена и вольфрама привлекают особенное внимание в качестве материалов для контролируемого осаждения с получением пленок халькогенидов этих металлов [6, 7]. Биядерные комплексы Mo(V) и W(V) с органическими лигандами, содержащие кластерный фрагмент {S=M₂(μ₂-S)₂=S}, известны довольно давно, однако количество таких соединений очень ограничено [8—11]. Вероятно, одной из причин этого является отсутствие подходящих исходных веществ, позволяющих целенаправленно получать новые биядерные комплексы с органическими лигандами. Обычно исходными соединениями для таких синтезов являются тетратио- или тетрагалогенидные моноядерные комплексы [12—14], а выходы в реакциях образования соответствующих биядерных комплексов низкие. По нашему мнению, подходящими исходными соединениями для синтеза биядерных комплексов вольфрама могут быть тиогалогенидные комплексы (Et₄N)₂[W₂S₄X₄] (X = Cl, Br), которые уже содержат ядро {S=M₂(μ₂-S)₂=S}. Как было показано в [15], галогенид-ионы замещаются на органические молекулы достаточно легко. В продолжение этой работы был проведен синтез нового биядерного кластерного комплекса вольфрама [W₂S₄Cl₂(dppe)₂]·2CH₃CN по реакции (Et₄N)₂[W₂S₄Cl₄] с 1,2-бис(дифенилфосфино)этаном в растворе.

ЭКСПЕРИМЕНТАЛЬНАЯ ЧАСТЬ

Перед использованием ацетонитрил перегоняли над P_2O_5 и насыщали аргоном. Реакцию проводили в атмосфере аргона в сосуде Шленка. Исходный комплекс $(Et_4N)_2[W_2S_4Cl_4]$ зеленого цвета получали по реакции $(Et_4N)_2[WS_4]$ с хлороводородной кислотой, как описано в работе [16].

Синтез $[W_2S_4Cl_2(dppe)_2] \cdot 2CH_3CN$ (1). 1,2-Бис(дифенилфосфино)этан (dppe) (0,134 г, 0,34 ммоль) растворяли в 10 мл ацетонитрила. $(Et_4N)_2[W_2S_4Cl_4]$ (0,150 г, 0,17 ммоль) также растворяли в 10 мл ацетонитрила. Полученные растворы соединяли и перемешивали в течение 2 ч. Образовавшийся красный аморфный осадок **1** фильтровали, промывали ацетонитрилом (2×20 мл) и высушивали на воздухе. Выход 0,236 г, 96 %. Красные кристаллы соединения **1** кубической формы получали кристаллизацией из дихлорметана в парах ацетонитрила. Для $C_{56}H_{54}Cl_2N_2P_4S_4W_2$ найдено/вычислено (масс. %): C 46,65/46,52; H 3,7/3,76; N 1,91/1,94. EDS (ат. %): W:P:S:Cl 2,0:4,2:4,1:2,1.

Рентгеноструктурный анализ. Монокристалл красного цвета в форме куба соединения **1** для РСА был отобран из массы перекристаллизованного продукта **1**. Запись отражений проводили при температуре 150,0 К с использованием автоматического дифрактометра Bruker X8 Арх с двумерным CCD-детектором (графитовый монохроматор, $\lambda(MoK\alpha) = 0,71073 \text{ \AA}$) [17]. Дифракционные данные получали по стандартной методике, кристаллографические характеристики и параметры рентгеновского эксперимента приведены в табл. 1.

Учет поглощения проводили по интенсивности эквивалентных отражений при помощи программы SADABS [18]. Кристаллическая структура **1** решена прямым методом и уточнена полноматричным МНК в анизотропном приближении, используя пакет программ SHELLXTL [19]. Атомы водорода локализованы геометрически. CIF-файл, содержащий полную информацию по исследованной структуре **1**, был депонирован в CCDC под номером 977793, откуда может быть свободно получен по запросу на следующем интернет-сайте: www.ccdc.cam.ac.uk/data_request/cif, а также может быть получен у авторов.

Таблица 1

Кристаллографические данные и параметры уточнения для соединения **1**

Брутто-формула	$C_{56}H_{54}Cl_2N_2P_4S_4W_2$
Молекулярный вес	1445,73
Сингония	Триклинная
Пр. гр.	$P-1$
$a, b, c, \text{\AA}$	10,1202(16), 11,758(2), 12,648(2)
$\alpha, \beta, \gamma, \text{град.}$	104,324(5), 106,469(5), 97,587(5)
$V, \text{\AA}^3; Z$	1364,9(4); 1
$d_{\text{выч}}, \text{г/см}^3$	1,759
$\mu, \text{мм}^{-1}$	4,619
$F(000)$	10
Размер кристалла, мм	0,09×0,06×0,02
Диапазон сбора данных по θ , град.	1,76—27,48
Интервал индексов отражений	$-13 \leq h \leq 13, -15 \leq k \leq 14, -16 \leq l \leq 15$
Измер. / независ. рефлексов	7991 / 6103 [$R_{\text{int}} = 0,0463$]
Полнота съемки отражений до $\theta = 25,00^\circ, \%$	98,6
Ограничений / число уточняемых параметров	0 / 317
GOOF по F^2	0,984
$R_1; wR_2 [I > 2\sigma(I)]$	$R_1 = 0,0545, wR_2 = 0,1053$
$R_1; wR_2$ (по всем отражениям)	$R_1 = 0,0972, wR_2 = 0,1242$
$\Delta\rho_{\text{макс}} / \Delta\rho_{\text{мин}}, \text{e}/\text{\AA}^{-3}$	1,313 / -2,088

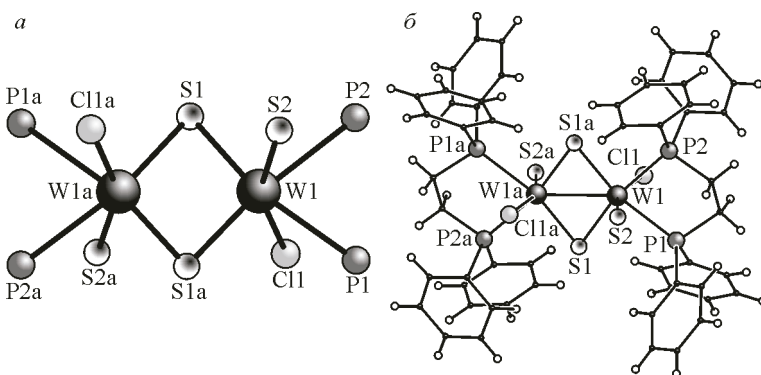


Рис. 1. Строение биядерного комплекса $[W_2S_4Cl_2(dppe)_2]$ в кристаллической структуре **1**: координационное окружение кластерного ядра $\{W_2S_2\}$ (*а*); строение комплекса, включая молекулы *dppe* (*б*)

РЕЗУЛЬТАТЫ И ИХ ОБСУЖДЕНИЕ

Взаимодействие двух эквивалентов *dppe* с одним эквивалентом $(Et_4N)_2[W_2S_4Cl_4]$ в ацетонитриле приводит к образованию красного порошка соединения **1** с выходом, близким к количественному (96 %). В результате реакции происходит замещение двух ионов хлора на две молекулы *dppe* и образуется электронейтральный комплекс $[W_2S_4Cl_2(dppe)_2]$. Кристаллы **1**, пригодные для РСА, были получены диффузией паров ацетонитрила в раствор **1** в дихлорметане в течение 2 дней. В отличие от исходного соединения $(Et_4N)_2[W_2S_4Cl_4]$, комплекс **1** растворим в дихлорметане и тетрагидрофуране. Соединение **1** устойчиво на воздухе, вероятно, благодаря хелатирующему лигандам *dppe*, образующим пятичленные циклы $—W—P—CH_2—CH_2—P—$ с каждым из двух атомов вольфрама в комплексе.

Описание кристаллической структуры $[W_2S_4Cl_2(dppe)_2] \cdot 2CH_3CN$ (1). Строение исходного комплекса $(Et_4N)_2[W_2S_4Cl_4]$ было установлено с помощью методов ИК и КР спектроскопии. Строение **1** установлено методом РСА. Соединение **1** кристаллизуется в триклинической сингонии, пр. гр. *P*-1. Кристаллическая структура **1** включает электронейтральный кластерный комплекс $[W_2S_4Cl_2(dppe)_2]$ и молекулы ацетонитрила. Симметрийно независимая часть комплекса содержит атом вольфрама, два атома серы, один атом хлора и одну молекулу *dppe*. Координационное окружение атома вольфрама состоит из двух мостиковых и одного терминального атомов серы, одного атома хлора и двух атомов фосфора, а также соседнего атома вольфрама. Таким образом, координационный полиздр вокруг атома вольфрама может быть описан как неправильная бипирамида с вершинами в атомах Cl1 и S2 (рис. 1). Основание бипирамиды — почти плоский пятиугольник, образованный атомами W1a, S1, S1a, P1 и P2.

Расстояние W—W в структуре **1** составляет $2,8271(8)$ Å, что соответствует длине связи W—W. Присутствие связи W—W было описано в структуре комплекса $(Et_4N)_2[W_2(\mu-S)_2S_2(S_4)_2]$ (длина связи W—W $2,834$ Å [20]). В качестве других примеров биядерных вольфрамовых комплексов, известных в литературе, можно привести следующие: $[W_2(\mu-S)_2S_2Cl_2py_4]$ с длиной связи W—W $2,845$ Å [21], $[W_2S_4Br_2(PPh_3)_2] \cdot C_6H_6$ с длиной связи W—W $2,813$ Å [22] и $[W_2(\mu-S_2)_2Br_6(SeBr_2)_2]$ с длиной связи W—W $2,792(2)$ Å [23].

Мостиковые атомы серы (S1, S1a) и два атома вольфрама, образующие кластерное ядро $\{W_2(\mu_2-S)_2\}^{6+}$, лежат в одной плоскости. Геометрические характеристики ядра $\{W_2(\mu_2-S)_2\}^{6+}$ следующие: длины связей W—S составляют $2,324(2)$ и $2,329(2)$ Å, угол $\angle W—S1—W$ равен $74,83(6)^\circ$. Длины связей катионов вольфрама с терминальными ионами серы W=S (S2, S2a) составляют $2,318(2)$ Å, с хлорид-ионами (Cl1, Cl1a) $2,312(2)$ Å, угол $\angle Cl1—W1—S2$ $155,73(8)^\circ$. Молекулы *dppe* координируют катионы вольфрама с длиной связи W—P $2,559(2)$, причем угол $\angle P1—W1—P2$ равен $80,29^\circ$. Основные длины связей в кристаллической структуре **1** приведены в табл. 2.

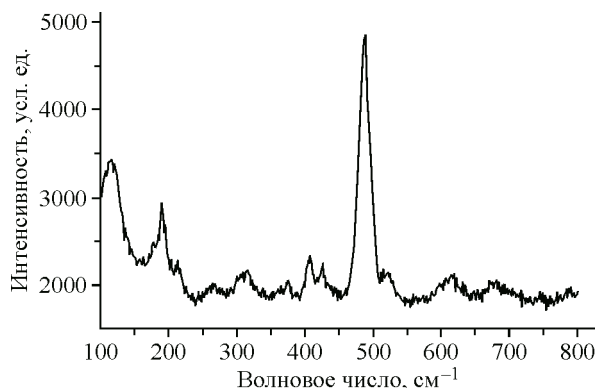
Рис. 2. КР спектр $[W_2S_4Cl_2(dppe)_2] \cdot 2CH_3CN$ (1)

Таблица 2

Основные длины связей (мин.—макс., ср., Å)
в кристаллической структуре
 $[W_2S_4Cl_2(dppe)_2] \cdot 2CH_3CN$ (1)

Связь	Длина связи (мин.—макс., ср.)
W—W	2,8271(8)
W=S	2,318(2)
W—(μ_2 -S)	2,324(2)—2,329(2), 2,327
W—Cl	2,312(2)
W—P	2,558(2)—2,559(2), 2,5585
P—C	1,808(8)—1,839(9), 1,826
C—C	1,360(14)—1,402(13), 1,378
N—C (CH_3CN)	1,093(12)
C—C (CH_3CN)	1,541(11)—1,454(14), 1,497

По нашим данным, единственным представителем комплексов вольфрама (V), включающих кластерный фрагмент $\{W_2S_4Cl_2\}$, является $[W_2S_4Cl_2py_4]$, описанный в [21]. В отличие от предложенного нами метода синтеза путем замещения лигандов в исходном биядерном комплексе, $[W_2S_4Cl_2py_4]$ был получен при взаимодействии "моноядерного" соединения WS_2Cl_2 с сухим пиридином, причем реакция сопровождалась восстановлением W(VI) до W(V).

Известен также комплекс с бромсодержащим кластерным фрагментом $\{W_2S_4Br_2\}$: соединение $[W_2S_4Br_2(PPh_3)_2] \cdot C_6H_6$ было получено в реакции $(Et_4N)_2[W_2S_4Br_4]$ с PPh_3 в ацетонитриле по методике, сходной с методикой синтеза соединения 1 [22]. В кристаллической структуре $[W_2S_4Br_2(PPh_3)_2] \cdot C_6H_6$ каждый катион вольфрама связан лишь с одним атомом фосфора, и, таким образом, координационное окружение атомов вольфрама здесь равно шести ($3S+Br+P+W$), а не семи, как в структуре 1.

КР спектроскопия и термогравиметрия. КР спектр соединения 1 (рис. 2) включает полосу поглощения при 120 cm^{-1} , которую мы отнесли к колебанию связи W—W, как это описано в [15]. Полосы поглощения при $213, 308, 405, 425$ и 521 cm^{-1} могут быть отнесены к колебаниям связей W—P, W—Cl, W—(μ -S) (симм.), W—(μ -S) (скруч.) и W=S соответственно, что хорошо согласуется с литературными данными [24—26]. Сильная полоса поглощения при 487 cm^{-1} ответственна за деформационные колебания цикла —W—P— CH_2 — CH_2 —P— по аналогии с данными [27].

Для соединения 1 была записана кривая потери массы при нагревании в инертной атмосфере. Эксперимент ТГ заканчивали при $470\text{ }^{\circ}\text{C}$. Остаток массы составил 34,5 %, что согласуется с гравиметрической частью WS_2 (W_2S_4) от формульной единицы $[W_2S_4Cl_2(dppe)_2] \cdot 2CH_3CN$. Вещество после эксперимента ТГ представляло собой черный порошок, его порошковая дифрактограмма включала единственный широкий рефлекс при $2\theta = 14,35^{\circ}$, который можно отнести к дисульфиду вольфрама WS_2 . EDS этого продукта показал присутствие вольфрама и серы в соотношении, близком к 1/2: W:S:P (ат.%) 1,0:1,9:0,1.

Таким образом, при реакции $(Et_4N)_2[W_2S_4Cl_4]$ с dppe в ацетонитрильном растворе два хлорид-иона замещаются на две молекулы dppe с образованием электронейтрального молекулярного биядерного комплекса вольфрама (V) $[W_2S_4Cl_2(dppe)_2] \cdot 2CH_3CN$ с выходом 96 %. При этом координационное число катионов вольфрама возрастает с шести до семи. Структура полученного комплекса была установлена методом PCA и подтверждена методом КР спектроскопии. Нагревание соединения $[W_2S_4Cl_2(dppe)_2] \cdot 2CH_3CN$ в инертной атмосфере до $470\text{ }^{\circ}\text{C}$, вероятно, приводит к образованию аморфного дисульфида вольфрама WS_2 .

Работа выполнена при финансовой поддержке Российского фонда фундаментальных исследований (проект 13-03-00145-а).

СПИСОК ЛИТЕРАТУРЫ

1. Spiro T.G. Molybdenum enzymes. – New York: Wiley, 1985.
2. Enemark J.H., Young C.G. // Adv. Inorgan. Chem. – 1993. – **40**. – P. 2.
3. Rees D.C., Chan M.K., Kim J. // Adv. Inorgan. Chem. – 1993. – **40**. – P. 89.
4. Topsoe H., Clausen B.S. // Catal. Rev. – Sci. Eng. – 1984. – **26**. – P. 395.
5. Topsoe H., Massoth F.E., Clausen B.S. Catalysis, science and technology / J.R. Anderson, M. Boudart. – Springer-Verlag, 1996. – V. 11.
6. Bochmann M. // Chem. Vap. Deposit. – 1996. – **2**, N 3. – P. 85 – 96.
7. Gleizes A.N. // Chem. Vap. Deposit. – 2000. – **6**, N 4. – P. 155 – 173.
8. Lozano R., Roman J., Dejesus F., Alarcon E. // Inorg. Chem. Acta. – 1991. – **186**, N 2. – P. 231 – 237.
9. Drew M.G.B., Hobson R.J., Mumba P.P.E.M. et al. // J. Chim. Soc., Dalton. Trans. – 1987. – N 5. – P. 1163 – 1167.
10. Mallard A., Simonnet-Jegat C., Lavanant H. et al. // Trans. Met. Chem. – 2008. – **33**, N 2. – P. 143 – 152.
11. Young C.G., Kocabas T.O., Yan X.F. et al. // Inorg. Chem. – 1994. – **33**, N 26. – P. 6252 – 6260.
12. Lozano R., Alarcon E., Roman J., Doadrio A. // Rev. De Chimie Minerale. – 1984. – **21**, N 2. – P. 177 – 182.
13. McDonald J.W., Friesen G.D., Rosenhein L.D., Newton W.E. // Inorg. Chem. Acta. – 1983. – **72**, N 2. – P. 205 – 210.
14. Pan W.H., Chandler T., Enemark J.H., Stiefel E.I. // Inorg. Chem. – 1984. – **23**, N 25. – P. 4265 – 4269.
15. Миронов Ю.В. Полиядерные тио- и тиогалогенидные комплексы молибдена и вольфрама. Синтез, строение и взаимные превращения. Дис. канд. хим. наук. – Новосибирск, Институт неорганической химии им. А.В. Николаева СО РАН, 1990.
16. Fedin V.P., Mironov Y.V., Sokolov M.N. et al. // Inorg. Chem. Acta. – 1989. – **163**. – P. 65 – 71.
17. Bruker, Version 6.22. Bruker AXS Inc. Madison, WI. 2003, USA.
18. Sheldrick G.M. SADABS, Program for empirical X-ray absorption correction. Bruker-Nonius, 1990—2004.
19. Sheldrick G.M. // Acta Crystallogr., Sect. A: Found. Crystallogr. – 2008. – **A64**. – P. 112 – 122.
20. Cohen S.A., Stiefel E.I. // Inorg. Chem. – 1985. – **24**, N 26. – P. 4657 – 4662.
21. Drew M.G.B., Hobson R.J., Rice D.A., Turp N. // J. Chem. Soc. Dalton Trans. – 1986. – P. 2165 – 2168.
22. Fedin V.P., Mironov Y.V., Virovets A.V. et al. // Inorg. Chem. Acta. – 1990. – N 171. – P. 199 – 203.
23. Волков С.В., Михайлов Ю.Н., Колесниченко В.Л. и др. // Координат. химия. – 1988. – **14**, № 3. – P. 363 – 366.
24. Volkov S.V., Kolesnichenko V.L., Timoshchenko N.I. // J. Coord. Chem. – 1988. – **17**, N 4. – P. 367 – 372.
25. Pradhan R., Bhattacharyya R., Kumar S., Banerjee D. // Trans. Met. Chem. – 1999. – **24**, N 4. – P. 431 – 435.
26. Nakamoto K. Infrared and Raman spectra of inorganic and coordination compounds, part B. – New Jersey: Jonh Wiley&Sons, Inc. Hoboken, 2009.
27. Benial A.M.F., Ramakrishnan V., Murugesan R. // Spectrochim. Acta A. – 2002. – **58**. – P. 1703 – 1712.